

# Função de Hash Criptográfica SHA-3

Quênio César Machado dos Santos (14100868)

INE5429 - Segurança em Computadores

Florianópolis, 07/07/2016

## Sumário

---

### 1 Função Hash Criptográfica

- 1.1 Propriedades
  - 1.1.1 Resistente a Pré-Imagem
  - 1.1.2 Resistente a Segunda Pré-Imagem
  - 1.1.3 Resistente a Colisão
  - 1.1.4 Uso das Propriedades de Funções *Hash*

### 2 SHA-3

- 2.1 A Estrutura do SHA-3
- 2.2 A Fase de Absorção
- 2.3 “Espremendo a Esponja”
- 2.4 Função de Compressão Keccak
- 2.5 Parâmetros do SHA-3

### 3 Perguntas e Respostas

- 3.1 O que é e para que serve o *State Array*?
- 3.2 Como é feita a conversação de strings para State Arrays?
- 3.3 Como é feita a conversão de State Array para Strings?
- 3.4 Passos de Mapeamento (*Step Mappings*)
  - 3.4.1 Passo Theta ( $\theta$ )
  - 3.4.2 Passo Rho ( $\rho$ )
  - 3.4.3 Passo Pi ( $\pi$ )
  - 3.4.4 Passo Chi ( $\chi$ )
  - 3.4.5 Passo Iota ( $\iota$ )
- 3.5 Permutação *Keccak-p*[ $b, n_r$ ]
  - 3.5.1 *Keccak-f*
- 3.6 Estrutura Esponja
  - 3.6.1 Absorção
  - 3.6.2 Liberação
- 3.7 Funções Esponja Keccak
  - 3.7.1  $pad10^*1$
  - 3.7.2 *Keccak[c]*
- 3.8 Especificação das Funções SHA-3
  - 3.8.1 Funções de *Hash* SHA-3
  - 3.8.2 Funções de Saída Extensível SHA-3 (XOF)
  - 3.8.3 Separação de Domínios
- 3.9 Análise de Segurança do SHA-3
- 3.10 Exemplo
  - 3.10.1 Mensagem (Entrada)
  - 3.10.2 Valor de *Hash* (Saída)

### 4 Implementação

- 4.1 Funções SHA-3
- 4.2 Funções Keccak

- 4.3 Função Esponja
- 4.4 Padding
- 4.5 Theta
- 4.6 Rho
- 4.7 Pi
- 4.8 Chi
- 4.9 Iota
- 4.10 State Array
- 4.11 Bit String

## 5 Crítica ao SHA-3

## 6 Referências

# 1 Função Hash Criptográfica

---

Uma função *hash* é uma função que aceita um bloco de dados de tamanho variável como entrada e produz um valor de tamanho fixo como saída, chamado de valor *hash*. Esta função tem a forma:

$$h = H(M)$$

Onde:

- $H$  é a função *hash* que gerou o valor  $h$ .
- $h$  é o valor *hash* de tamanho fixo gerado pela função *hash*.
- $M$  é o valor de entrada de tamanho variável.

Espera-se que uma função *hash* produza valores  $h$  que são uniformemente distribuídos no contra-domínio e que são aparentemente aleatórios, ou seja, a mudança de apenas um *bit* em  $M$  causará uma mudança do valor  $h$ . Por esta característica, as funções *hash* são muito utilizadas para verificar se um determinado bloco de dados foi indevidamente alterado.

As funções *hash* apropriadas para o uso em segurança de computadores são chamadas de “função *hash* criptográfica”. Este tipo de função *hash* é implementada por um algoritmo que torna inviável computacionalmente encontrar:

- um valor  $M$  dado um determinado valor  $h$ :

$$M \mid H(M) = h$$

- dois valores  $M_1$  e  $M_2$  que resultem no mesmo valor  $h$ :

$$(M_1, M_2) \mid H(M_1) = H(M_2)$$

Os principais casos de uso de funções *hash* criptográficas são:

- *Autenticação de Mensagens*: é um serviço de segurança onde é possível verificar que uma mensagem não foi alterada durante sua transmissão e que é proveniente do devido remetente.
- *Assinatura Digital*: é um serviço de segurança que permite a uma entidade assinar digitalmente um documento ou mensagem.
- *Arquivo de Senhas de Uma Via*: é uma forma de armazenar senhas usando o valor *hash* da senha, permitindo sua posterior verificação sem a necessidade de armazenar a senha em claro, cifrá-la ou decifrá-la.
- *Deteção de Perpetração ou Infeção de Sistemas*: é um serviço de segurança em que é possível determinar se arquivos de um sistema foram alterados por terceiros sem a autorização dos usuários do sistema.

## 1.1 Propriedades

---

Como observado na seção anterior, uma função *hash* criptográfica precisa ter certas propriedades para permitir seu uso em segurança de computadores. Nas seções a seguir estão destacadas algumas dessas propriedades.

Antes, defini-se dois termos usados a seguir:

- *Pré-Imagem*: um valor  $M$  do domínio de uma função *hash* dada pela fórmula  $h = H(M)$  é denominado de “pré-imagem” do valor  $h$ .
- *Colisão*: para cada valor  $h$  de tamanho  $n$  bits existe necessariamente mais de uma pré-imagem correspondente de tamanho  $m$  bits se  $m > n$ , ou seja, existe uma “colisão”.

O número de pré-imagens de  $m$  bits para cada valor  $h$  de  $n$  bits é calculado pela fórmula:  $2^{\frac{m}{n}}$ . Se permitirmos um tamanho em bits arbitrariamente longo para as pré-imagens, isto aumentará ainda mais a probabilidade de colisão durante o uso de uma função *hash*. Entretanto, os riscos de segurança são minimizados se a função de *hash* criptográfica oferecer as propriedades descritas nas próximas seções.

### 1.1.1 Resistente a Pré-Imagem

Uma função *hash* criptográfica é resistente a pré-imagem quando esta é uma função de uma via. Ou seja, embora seja computacionalmente fácil gerar um valor  $h$  a partir de uma pré-imagem  $M$  usando a função de *hash*, é computacionalmente inviável gerar uma pré-imagem a partir do valor  $h$ .

Se uma função *hash* não for resistente à pré-imagem, é possível atacar uma mensagem autenticada  $M$  para descobrir o valor secreta  $S$  usada na mensagem, permitindo assim ao perpetrante enviar uma outra mensagem  $M_2$  ao destinatário no lugar do remetente sem que o destinatário perceba a violação da comunicação. O ataque ocorre da seguinte forma:

- O perpetrante tem conhecimento do algoritmo de *hash*  $h = H(M)$  usado na comunicação entre as partes.
- Ao escutar a comunicação, o perpetrante descobre qual é a mensagem  $M$  e o valor de *hash*  $h$ .
- Visto que a inversão da função de *hash* é computacionalmente fácil, o perpetrante calcula  $H^{-1}(h)$ .
- Como  $H^{-1}(h) = S \parallel M$ , o perpetrante descobre  $S$ .

Desta forma, o perpetrante pode utilizar a chave secreta  $S$  no envio de uma mensagem  $M_2$  para o destinatário sem que este perceba a violação.

### 1.1.2 Resistente a Segunda Pré-Imagem

Uma função *hash* criptográfica é resistente a segunda pré-imagem quando esta função torna inviável computacionalmente encontrar uma pré-imagem alternativa que gera o mesmo valor  $h$  da primeira pré-imagem.

Se uma função de *hash* não for resistente a segunda pré-imagem, um perpetrante conseguirá substituir uma mensagem que utiliza um determinado valor de *hash*, mesmo que a função de *hash* seja de uma via, ou seja, resistente a pré-imagem.

### 1.1.3 Resistente a Colisão

Uma função *hash* criptográfica é resistente a colisão quando esta tornar inviável

computacionalmente encontrar duas pré-imagens quaisquer que possuam o mesmo valor de *hash*. Neste caso, diferentemente da resistência a segunda pré-imagem, não é dado uma pré-imagem inicial para a qual precisa se achar uma segunda pré-imagem, mas é suficiente encontrar duas pré-imagens quaisquer tal que  $H(M_1) = H(M_2)$ .

Quando uma função *hash* é resistente a colisão, está é consequente resistente a segunda pré-imagem. Porém, nem sempre uma função resistente a segunda pré-imagem será resistente a colisão. Por isto, diz-se que uma função *hash* resistente a colisão é uma função de *hash* forte.

Se uma função *hash* não for resistente a colisão, então é possível para uma parte forjar a assinatura de outra parte. Por exemplo, se Alice deseja que Bob assine um documento dizendo que deve 100 reais a ela, caso Alice saiba que um documento contendo o valor de 1000 reais contém o mesmo valor de *hash* que o documento original, Alice pode fazer com que Bob seja responsável por uma dívida maior que a original, pois a assinatura valerá para ambos os documentos.

#### 1.1.4 Uso das Propriedades de Funções *Hash*

Abaixo, temos uma tabela que mostra quais propriedades das funções *hash* são necessárias para alguma das aplicações de segurança de computadores:

Aplicação	Resistente a Pre-Imagem	Resistente a Segunda Pre-Imagem	Resistente a Colisão
Autenticação de Mensagens	X	X	X
Assinatura Digital	X	X	X
Infecção de Sistemas		X	
Arquivo de Senhas de Uma Via	X		

No caso da infecção de sistemas, não há problema em usar uma função de *hash* com fácil inversão, pois não é necessário embutir um valor secreto na geração do valor de *hash* de um arquivo. Já, num arquivo de *hash* de senhas, a inversão permitiria descobrir a senha a partir do valor de *hash*.

Se a função de *hash*, porém, permitir o descobrimento de uma segunda pré-imagem, seria possível infectar um arquivo de um sistema sem detecção, pois seu valor de *hash* não mudaria. Isto não seria um problema para um arquivo de *hash* de senhas, pois o perpetrante não possui a senha, que é a primeira pré-imagem e, portanto, não teria condições de descobrir a segunda pré-imagem.

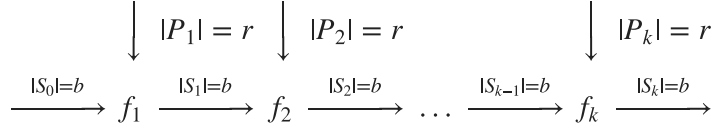
## 2 SHA-3

SHA-3 é uma função *hash* criptográfica publicada pelo NIST em agosto de 2015 para substituir o SHA-2 como o padrão para os sistemas de informação dos departamentos e das agências do governo americano. SHA-3 provavelmente será adotado por sistemas operacionais e também por organizações privadas e públicas de todo o mundo, assim como foi o caso do SHA-2 e SHA-1.

### 2.1 A Estrutura do SHA-3

A estrutura de entrada do SHA-3 segue a estrutura genérica de outras funções *hash* iterativas,

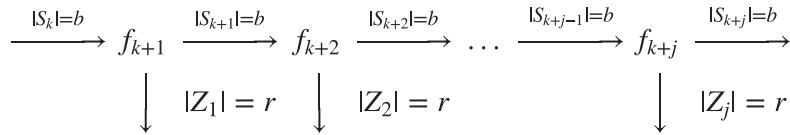
onde o resultado de uma função de compressão  $f$  é iterativamente aplicado sobre a mesma função, juntamente com o próximo bloco  $P_i$  da mensagem de entrada, como ilustrado no diagrama abaixo:



No esquema ilustrado acima, uma mensagem de entrada de  $n$  bits é dividida em  $k$  blocos de tamanho  $r$  bits:  $P_1, P_2, \dots, P_n$ . O último bloco é sempre preenchido para que tenha  $r$  bits. Cada bloco é processado com a saída  $S_{i-1}$  da execução anterior da função  $f$ . O símbolo  $f_i$ , com  $1 \leq i \leq k$ , representa a execução da função  $f$  na iteração  $i$  gerando o resultado  $S_i$  de  $b$  bits. Após todos os blocos  $P_i$  serem processados, produz-se o valor  $S_k$ .

Apesar de seguir o esquema genérico, descrito acima, na sua estrutura de entrada, o SHA-3 possui uma característica peculiar, descrita abaixo, na sua estrutura de saída. Combinando ambas as estruturas, o SHA-3 permite um número variável de bits tanto na entrada como na saída. Este fato o torna mais flexível e aplicável não somente como função *hash*, mas também como um gerador de números pseudo-aleatórios; além de permitir outras aplicações. Devido a esta característica, os criadores do SHA-3 chamam sua estrutura de função *esponja*.

Observe a estrutura de saída do SHA-3 no diagrama abaixo:



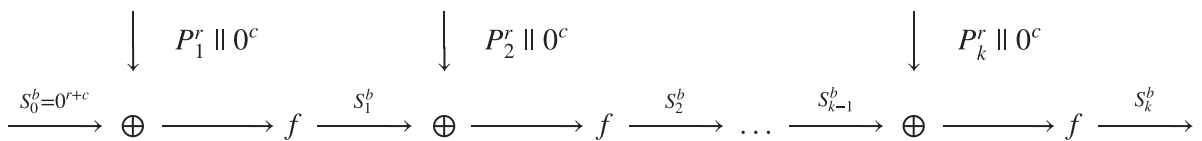
No esquema ilustrado acima, o valor  $S_k$  proveniente da estrutura de entrada serve como valor inicial da estrutura de saída. Após processar os  $k$  blocos da mensagem de entrada, e usando a mesma função de compressão  $f$ , a função esponja gera uma sequência de  $j$  blocos:  $Z_1, Z_2, \dots, Z_j$ . O número de blocos de saída  $j$  é determinado pelo número de bits de saída desejado. Se  $l$  bits são necessários na saída, então:

$$(j-1) \times r < l \leq j \times r$$

Esta flexibilidade no número de  $l$  bits de saída é o que dá o nome *esponja* à função do SHA-3. De acordo com esta analogia, quando a estrutura de entrada está consumindo os  $n$  bits da mensagem de entrada, diz-se que a função *esponja* está “absorvendo” os bits de entrada. E quando a estrutura de saída está gerando os  $l$  bits de saída, diz-se que a função *esponja* está sendo “espremida” para liberar os bits de saída.

## 2.2 A Fase de Absorção

A primeira fase da função esponja se chama de *absorção* e refere-se ao processamento dos blocos da mensagem de entrada. Veja a fase de absorção na ilustração abaixo:



Como ilustrado na figura acima, existe uma variável de estado  $s$  que é utilizada nesta fase. Esta variável serve como entrada e saída de cada iteração que aplica a função de compressão  $f$ . Inicialmente,  $s$  contém 0 em todos os seus bits. Seu valor vai se modificando em cada iteração.

O tamanho de  $s$  é de  $b$  bits, onde:

$$b = r + c$$

Como visto na seção anterior,  $r$  é o tamanho de cada bloco  $P_i$  da mensagem de entrada. Também é chamado de *bitrate*, ou vazão de *bits*, pois representa o número de *bits* consumidos em cada iteração da função esponja.

O número de *bits*  $c$  é chamado de *capacidade* e representa o nível de segurança atingido pela função esponja. Dado o valor padrão de  $b = r + c = 1600$  no SHA-3, quanto maior o número  $c$ , maior a segurança da função, porém menor o *bitrate*.

Em cada iteração, a fase de absorção ocorre da seguinte forma:

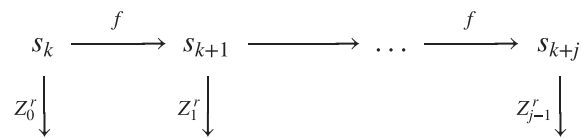
- O próximo bloco  $P_i$  da mensagem de entrada é preenchido com zeros ( $P_i^r \parallel 0^c$ ) para aumentar seu tamanho de  $r$  para  $b$  *bits*.
- Ao resultado do passo anterior, uma operação XOR é aplicada, tendo como segundo operando o valor de  $s_{i-1}$  proveniente da iteração anterior, ou zeros se for a primeira iteração ( $S_0^b = 0^{r+c}$ ).
- O resultado da operação XOR serve então de entrada para a função de compressão  $f$ . O resultado desta função é o novo valor  $S_i$  da variável  $s$ , que é usada como entrada da próxima iteração, juntamente com o próximo bloco  $P_{i+1}$  da mensagem de entrada.

Se o tamanho desejado da saída da função esponja é menor que o tamanho de  $s$  - ou seja, se  $l \leq b$  - então os primeiros  $l$  *bits* de  $s_k$  - retornado pela última iteração - é o resultado da função esponja. Caso deseja-se  $l > b$ , então a fase de “espremer a esponja” inicia-se, como descrito na próxima seção.

## 2.3 “Espremendo a Esponja”

Na fase de absorção da função esponja, descrita na seção anterior, foram consumidos todos os blocos da mensagem de entrada, resultando num valor final de  $s$  de  $b$  *bits*. Se o tamanho desejado de saída ( $l$ ) da função esponja for  $l > b$ , diz-se que é preciso *espremer a esponja* para obter uma saída com o número de *bits* desejado.

A fase de *espremer a esponja* é ilustrada abaixo:



Observando a ilustração acima, pode-se descrever esta fase da seguinte forma:

- Primeiramente, os primeiros  $r$  *bits* de  $s_k$  são colocados num bloco  $Z_0$ .
- Então o valor de  $s_k$  é aplicado na função  $f$  para se obter novo valor de  $s_{k+1}$ .
- Os primeiro  $r$  *bits* do novo valor de  $s_{k+1}$  são colocados num bloco  $Z_1$ .
- Este processo se repete até que se tenha  $j$  blocos ( $Z_0, Z_1, \dots, Z_{j-1}$ ) tal que  $(j - 1) \times r < l \leq j \times r$ .

Ao final deste processo, a saída da função esponja serão os primeiros  $l$  *bits* dos blocos concatenados  $Z_0 \parallel Z_1 \parallel \dots \parallel Z_{j-1}$ .

## 2.4 Função de Compressão Keccak

Nas seções anteriores, foi dado uma visão geral da estrutura da função esponja utilizada por SHA-3. Nesta seção, o foco será a função de compressão utilizada em cada iteração do SHA-3, que é chamada de *Keccak* pelos seus autores.

Como visto anteriormente, a função Keccak ( $f$ ) tem como entrada um valor  $s$  de  $b$  *bits*, onde  $b = r + c = 1600$ . No processamento interno da função  $f$ , o valor  $s$  é organizado numa matriz

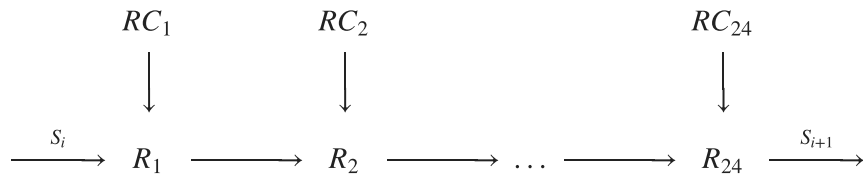
$5 \times 5$  com valores de 64 *bits* em cada uma de suas células. Esta matriz pode ser linearizada num vector de *bits*, correspondendo ao valor  $s$ , usando a seguinte fórmula:

$$s[64(5y + x) + z] = M[x, y, z]$$

Onde:

- $M$  é a matriz  $5 \times 5$  com valores de 64 *bits*.
- $x$  é o índice de coluna na matriz, que vai de 0 a 4.
- $y$  é o índice de linha na matriz, também de 0 a 4.
- $z$  é o índice de *bit* de uma célula na matriz, que vai de 0 a 63.

Uma vez criada a matriz, a função  $f$  vai executar 24 rodadas de processamento:



Observe acima que todas as rodadas são idênticas, exceto pela constante  $RC_i$  diferente em cada rodada. Cada uma das rodadas, consiste de 5 passos. Cada passo executa uma operação de permutação ou substituição sobre a matriz.

A aplicação dos cinco passos de cada rodada é expressa pela composição das seguintes funções:

$$R_i = \iota \circ \chi \circ \pi \circ \rho \circ \theta$$

Onde cada passo tem sua fórmula na tabela seguinte:

Função	Fórmula
Theta	$\theta : M[x, y, z] \leftarrow M[x, y, z] \oplus \sum_{y'=0}^4 M[x-1, y', z] \oplus \sum_{y'=0}^4 M[x+1, y', z-1]$
Rho	$\rho : M[x, y, z] \leftarrow \begin{cases} M[x, y, z], & \text{se } x = y = 0 \\ M[x, y, z - \frac{(t+1)(t+2)}{2}], & \text{onde } 0 \leq t < 24 \text{ e } \begin{pmatrix} 0 & 1 \\ 2 & 3 \end{pmatrix}^t \begin{pmatrix} 1 \\ 0 \end{pmatrix} = \begin{pmatrix} x \\ y \end{pmatrix} \\ \text{em } GF(5)^{2 \times 2} \end{cases}$
Pi	$\pi : M[x, y] \leftarrow M[x', y'], \text{ onde } \begin{pmatrix} x \\ y \end{pmatrix} \begin{pmatrix} 0 & 1 \\ 2 & 3 \end{pmatrix} = \begin{pmatrix} x' \\ y' \end{pmatrix}$
Chi	$\chi : M[x, y, z] \leftarrow M[x, y, z] \oplus (\neg M[x+1, y, z] \wedge M[x+2, y, z])$
Iota	$\iota : M[x, y, z] \leftarrow M[x, y, z] \oplus RC(i), \text{ onde } RC \text{ é uma tabela com um valor para cada rodada } i.$

Baseado na tabela acima, aqui estão algumas características de cada passo:

- *Theta* ( $\theta$ ) é uma função de substituição que utiliza *bits* das colunas anteriores e posteriores, além dos *bits* da célula sendo substituída. Cada *bit* substituído depende de outros 11 *bits*, o que provê uma difusão de alto grau.
- *Rho* ( $\rho$ ) é uma função de permutação dos *bits* dentro de cada célula. Sem esta função, a

difusão entre as células, ocorreria de forma muito lenta.

- $Pi (\pi)$  é também uma função de permutação, mas entre células. A rotação não se dá nos *bits* de uma célula, mas entre as células da matriz.
- $Chi (\chi)$  é uma função de substituição baseada no valor do *bit* corrente e dos *bits* em posições correspondentes das duas próximas células. Sem esta função, SHA-3 seria completamente linear.
- $Iota (\iota)$  é uma função de substituição baseada numa tabela - chamada *RC*, ou seja, constantes de rodada - que usará um valor constante e diferente para cada rodada do SHA-3.

## 2.5 Parâmetros do SHA-3

---

O SHA-3 define um algoritmo padrão para uso com parâmetros diferentes, dependendo do nível de segurança e tamanho de *bits* desejados na saída. A tabela abaixo enumera os parâmetros normalmente utilizados com o SHA-3:

Tamanho do Valor de Hash ( <i>l</i> )	Tamanho do Bloco ( <i>r</i> )	Capacidade ( <i>c</i> )	Resistência a Colisão	Resistência à Segunda Pré-Imagem
224	1152	448	$2^{112}$	$2^{224}$
256	1088	512	$2^{128}$	$2^{256}$
384	832	768	$2^{192}$	$2^{384}$
512	576	1024	$2^{256}$	$2^{512}$

Como visto nas seções anteriores, quanto maior o tamanho do bloco (*r* ou *bitrate*), maior a vazão de *bits*, porém menor a segurança do SHA-3. Isto é evidente nos valores de resistência a colisão e à segunda pré-imagem, que mostram que quanto menor é o *bitrate*, maior é a resistência.

Observe também que, para os tamanhos *l* de valor de *hash* da tabela acima, não há necessidade de se usar a fase de *espremer a esponja* do algoritmo do SHA-3, pois *l* é sempre menor que *r* nestes casos.

## 3 Perguntas e Respostas

---

Nas sub-seções abaixo, encontram-se as perguntas e respostas sobre a referência [FIPS202] que apresenta o SHA-3 padronizado pelo NIST.

### 3.1 O que é e para que serve o *State Array*?

---

*State Array* é simplesmente a *string* *S* - que serve de entrada à função Keccak - representada na forma de uma matriz *M* de 5x5, tendo como suas células as palavras de *bits* de comprimento *w*, que varia de 1 a 64 *bits*.

Representando a *string* *S* numa matriz facilita a definição e a implementação das sub-funções de substituição e permutação ( $\theta, \rho, \pi, \chi, \iota$ ) que fazem parte da função Keccak.

Após realizar as várias transformações no *State Array* (ou seja, na matriz *M*), a função Keccak terá como sua saída o estado final encontrado nesta matriz, que então será convertida novamente no formato da *string* *S*, servindo por sua vez como a entrada da próxima rodada do SHA-3.

### 3.2 Como é feita a conversação de strings para *State Arrays*?

---



Uma *bit string*  $S$  pode ser convertida numa matriz  $M$  de  $5 \times 5$  de palavras de comprimento  $w$  *bits*. Para tanto, é preciso que o comprimento  $b$  da *bit string*  $S$  tenha como múltiplos 25 ( $5 \times 5 = 25$ ) e  $w$ , de tal forma que  $b = 25w$ .

Respeitada a condição definida acima, é possível estabelecer um mapeamento entre cada *bit* da *string*  $S$  e cada *bit* de uma palavra da matriz  $M$ , usando a seguinte equação:

$$M[x, y, z] = S[w(5y + x) + z]$$

Onde:

- $M$  é a matriz  $5 \times 5$  com palavras de  $w$  *bits*.
- $x$  é o índice de coluna na matriz, que vai de 0 a 4.
- $y$  é o índice de linha na matriz, também de 0 a 4.
- $z$  é o índice de *bit* de uma palavra na matriz  $M$ , que vai de 0 a  $w - 1$ .

Fazendo  $w = 2$  e  $b = 50$ , o que faz as palavras da matriz  $M$  ter apenas 2 *bits* e a *bit string*  $S$  ter 50 *bits*, podemos visualizar o mapeamento na seguinte tabela:

$M[x, y]$	$x = 0$	$x = 1$	$x = 2$	$x = 3$	$x = 4$
$y = 0$	$S[0] \parallel S[1]$	$S[2] \parallel S[3]$	$S[4] \parallel S[5]$	$S[6] \parallel S[7]$	$S[8] \parallel S[9]$
$y = 1$	$S[10] \parallel S[11]$	$S[12] \parallel S[13]$	$S[14] \parallel S[15]$	$S[16] \parallel S[17]$	$S[18] \parallel S[19]$
$y = 2$	$S[20] \parallel S[21]$	$S[22] \parallel S[23]$	$S[24] \parallel S[25]$	$S[26] \parallel S[27]$	$S[28] \parallel S[29]$
$y = 3$	$S[30] \parallel S[31]$	$S[32] \parallel S[33]$	$S[34] \parallel S[35]$	$S[36] \parallel S[37]$	$S[38] \parallel S[39]$
$y = 4$	$S[40] \parallel S[41]$	$S[42] \parallel S[43]$	$S[44] \parallel S[45]$	$S[46] \parallel S[47]$	$S[48] \parallel S[49]$

Ou seja:

- $M[0, 0, 0] = S[0]$
- $M[0, 0, 1] = S[1]$
- $M[1, 0, 0] = S[2]$
- $M[1, 0, 1] = S[3]$
- ...

E assim por diante, até que todas as palavras da matriz  $M$  sejam preenchidas com os *bits* da *string*  $S$ .

### 3.3 Como é feita a conversão de State Array para Strings?

Pode-se converter a matriz  $M$  (o *State Array*) de volta a uma *bit string*  $S$  usando a mesma equação definida anteriormente, apenas invertendo as expressões, como mostrado abaixo:

$$S[w(5y + x) + z] = M[x, y, z]$$

Uma vez definidos cada um dos *bits*, faz-se a concatenação destes para obter *string*  $S$ :

$$S = M[x, y, 0] \parallel M[x, y, 1] \parallel \dots \parallel M[x, y, w - 1], 0 \leq x \leq 4, 0 \leq y \leq 4$$

Usando ainda o exemplo com  $w = 2$  e  $b = 50$ , temos:

$$S = M[0, 0, 0] \parallel M[0, 0, 1] \parallel M[1, 0, 0] \parallel M[1, 0, 1] \parallel M[2, 0, 0] \parallel M[2, 0, 1] \parallel M[3, 0, 0] \parallel M[3, 0, 1] \parallel M[4, 0, 0] \parallel M[4, 0, 1] \parallel M[0, 1, 0] \parallel M[0, 1, 1] \parallel M[1, 1, 0] \parallel M[1, 1, 1] \parallel M[2, 1, 0] \parallel M[2, 1, 1] \parallel M[3, 1, 0] \parallel M[3, 1, 1] \parallel M[4, 1, 0] \parallel M[4, 1, 1] \parallel \dots \parallel M[4, 4, 1]$$

### 3.4 Passos de Mapeamento (Step Mappings)

Para cada rodada do SHA-3, os cinco passos de mapeamento de *Keccak-p* - representados pelas funções  $\theta, \rho, \pi, \chi, \iota$  - fazem substituições e permutações sobre as palavras da matriz  $M$  (o *State Array*) até que se encontre o estado final da *string S* naquela rodada.

Cada um dos passos de mapeamento são descritos a seguir na ordem em que são aplicados à matriz  $M$ .

### 3.4.1 Passo Theta ( $\theta$ )

$$\theta : M[x, y, z] \leftarrow M[x, y, z] \oplus \sum_{y'=0}^4 M[(x-1) \bmod 5, y', z] \oplus \sum_{y'=0}^4 M[(x+1) \bmod 5, y', z-1]$$

*Theta* ( $\theta$ ) é uma função de substituição que utiliza *bits* das colunas anteriores e posteriores, além dos *bits* da palavra  $M[x, y]$  sendo substituída.

Para cada palavra  $M[x, y]$ :

- O primeiro somatório faz um XOR entre todas as palavras da coluna anterior. O segundo somatório, faz o mesmo com a coluna posterior. Se a coluna da palavra  $M[x, y]$  for a primeira, usa-se a última coluna para o primeiro somatório. Se a coluna de  $M[x, y]$  for a última, usa-se a primeira coluna para o segundo somatório.
- Um XOR então é aplicado entre os valores resultantes dos somatórios e o valor de  $M[x, y]$ .

Observa-se que cada *bit* substituído pela função  $\theta$  depende de outros 11 *bits* da matriz  $M$  (das colunas anteriores e posteriores, assim como o *bit* anterior na mesma posição). Isto provê uma difusão de alto grau.

### 3.4.2 Passo Rho ( $\rho$ )

$$\rho : M[x, y, z] \leftarrow \begin{cases} M[x, y, z], & \text{se } x = y = 0 \\ M[x, y, z - \frac{(t+1)(t+2)}{2}], & \text{onde } 0 \leq t < 24 \text{ e } \begin{pmatrix} 0 & 1 \\ 2 & 3 \end{pmatrix}^t \begin{pmatrix} 1 \\ 0 \end{pmatrix} = \begin{pmatrix} x \\ y \end{pmatrix} \\ \text{em } GF(5)^{2 \times 2} \end{cases}$$

*Rho* ( $\rho$ ) é uma função de permutação dos *bits* dentro de cada palavra  $M[x, y]$ .

Este passo funciona da seguinte forma:

- Se  $(x, y) = (0, 0)$ , então  $M[x, y]$  não é afetado.
- O valor de  $t$  é usado para determinar quantas posições de *shift* circular serão usadas ( $\frac{(t+1)(t+2)}{2}$ ) e também em que palavra ocorrerá o *shift*:

$$\begin{pmatrix} x \\ y \end{pmatrix} = \begin{pmatrix} 0 & 1 \\ 2 & 3 \end{pmatrix}^t \begin{pmatrix} 1 \\ 0 \end{pmatrix}$$

Observa-se que, sem esta transformação, a difusão entre as palavras da matriz  $M$  ocorreria de forma muito lenta.

### 3.4.3 Passo Pi ( $\pi$ )

$$\pi : M[x, y] \leftarrow M[x', y'], \text{ onde } \begin{pmatrix} x' \\ y' \end{pmatrix} = \begin{pmatrix} x \\ y \end{pmatrix} \begin{pmatrix} 0 & 1 \\ 2 & 3 \end{pmatrix}$$

*Pi* ( $\pi$ ) é também uma função de permutação, mas entre as palavras. Ou seja, a rotação *não* se dá nos *bits* de uma palavra, mas entre as palavras da matriz  $M$ .

### 3.4.4 Passo Chi ( $\chi$ )

$$\chi : M[x, y, z] \leftarrow M[x, y, z] \oplus (\neg M[x + 1, y, z] \wedge M[x + 2, y, z])$$

*Chi* ( $\chi$ ) é uma função de substituição baseada no valor do *bit* corrente e dos *bits* em posições correspondentes das duas próximas células.

Este passo é o único mapeamento não-linear. Sem este passo, SHA-3 seria mais suscetível a ataques.

### 3.4.5 Passo Iota ( $\iota$ )

$$\iota : M[x, y, z] \leftarrow M[x, y, z] \oplus RC(i)$$

*Iota* ( $\iota$ ) é uma função de substituição baseada numa tabela - chamada *RC*, ou seja, constantes de rodada - que usará um valor constante e diferente para cada rodada  $i$  do SHA-3.

A tabela *RC* pode ser calculada com o seguinte algoritmo:

```
função RC(i):  
  se i mod 255 = 0, retorne 1  
  faça R = 10000000  
  para i de 1 to t mod 255, faça:  
    R = 0 || R  
    R[0] = R[0] + R[8]  
    R[4] = R[4] + R[8]  
    R[5] = R[5] + R[8]  
    R[6] = R[6] + R[8]  
    R = Truncar8[R]  
  retorne R[0]
```

## 3.5 Permutação *Keccak-p*[ $b, n_r$ ]

*Keccak-p* é a generalização das funções de substituição e permutação *Keccak* que podem ser usadas pelo algoritmo do SHA-3. Tem como parâmetros:

- $b$ : o comprimento em *bits* da *bit string*  $S$ , usada como a variável de estado do SHA-3.
- $n_r$ : o número de rodadas da fase de absorção do SHA-3.

Cada rodada de substituições e permutações de *Keccak-p* consiste numa sequência de cinco transformações (*step mappings*), como visto anteriormente, modificando o estado da *string*  $S$ :

$$S_i = \iota(\chi(\phi(\rho(\theta(S_{i-1}))))), i)$$

Onde:

- $i \geq 2l + 12 - n_r$  e  $i < 2l + 12, l \in \mathbb{Z}$ .
- $S_i$  é o estado da *string*  $S$  na rodada  $i$ .

Observe que, em *Keccak-p*, o índice da rodada  $i$  pode ser um inteiro negativo.

### 3.5.1 *Keccak-f*

*Keccak-f* é uma especialização de *Keccak-p*, onde fixamos os parâmetros da seguinte forma:

- $b \in \{25, 50, 100, 200, 400, 800, 1600\}$
- $n_r = 2l + 12, l \in \mathbb{Z}$ .

Devido a fixação dos parâmetros, pode-se definir que:

$$Keccak-f[b] = Keccak-p[b, 12 + 2l]$$

Observe que, em *Keccak-f*, o índice da rodada será sempre um inteiro não-negativo no intervalo:

$$0 \leq i < n_r$$

### 3.6 Estrutura Esponja

---

É uma estrutura usada para encadear a execução de uma função *f*, operando sobre dados binários de comprimento variável (a mensagem) e gerando um valor *hash* de tamanho arbitrário.

Para que a mensagem possa ser consumida pela estrutura esponja, esta precisa ter um determinado tamanho em *bits*. Para isto, é necessário aplicar uma regra de *padding* que alongue a mensagem para o tamanho desejado.

A estrutura, como ilustrada na figura 7 de [FIPS2002], é dividida em duas partes (absorção e liberação), descritas nas próximas seções.

#### 3.6.1 Absorção

A primeira fase da função esponja se chama de *absorção* e refere-se ao processamento dos blocos da mensagem de entrada.

Como ilustrada na figura 7 de [FIPS202], o resultado da execução anterior da função *f* serve como entrada em cada iteração para a próxima execução da função *f*. Inicialmente, uma *bit string* que contém 0 em todos os seus *bits* é fornecida à primeira iteração. Esta *bit string* (que chamaremos de *S* a partir de agora) vai se modificando em cada iteração.

O tamanho de *S* é de *b bits*, onde:

$$b = r + c$$

Onde:

- *r*: o tamanho de cada bloco da mensagem binária de entrada. Também é chamado de *bitrate*, ou vazão de *bits*, pois representa o número de *bits* consumidos em cada iteração da função esponja.
- *c*: chamado de *capacidade*, representa o nível de segurança atingido pela função esponja. Quanto maior o número *c*, maior a segurança, porém menor o *bitrate*.

Analisando o algoritmo 8 em [FIPS202], pode-se dizer que, em cada iteração, a fase de absorção ocorre da seguinte forma:

- O próximo bloco *P<sub>i</sub>* da mensagem de entrada é preenchido com zeros (*P<sub>i</sub><sup>r</sup> || 0<sup>c</sup>*) para aumentar seu tamanho de *r* para *b bits*.
- Ao resultado do passo anterior, uma operação *XOR* é aplicada, tendo como segundo operando o valor de *S<sub>i-1</sub>* proveniente da iteração anterior, ou zeros se for a primeira iteração (*S<sub>0</sub><sup>b</sup> = 0<sup>r+c</sup>*).
- O resultado da operação *XOR* serve então de entrada para a função de compressão *f*. O resultado desta função é o novo valor *S<sub>i</sub>* da variável *s*, que é usada como entrada da próxima iteração, juntamente com o próximo bloco *P<sub>i+1</sub>* da mensagem de entrada.

Se o tamanho desejado *l* da saída da função esponja é menor que o tamanho de *s* - ou seja, se  $l \leq b$  - então os primeiros *l bits* de *s<sub>k</sub>* - retornado pela última iteração - é o resultado da função esponja. Caso deseje-se  $l > b$ , então a fase de liberação inicia-se, como descrito na próxima

seção.

### 3.6.2 Liberação

Na fase de absorção da estrutura esponja, descrita na seção anterior, foram consumidos todos os blocos da mensagem de entrada, resultando num valor final  $S_k$  de  $b$  bits. Se o tamanho desejado de saída ( $l$ ) da função esponja for  $l > b$ , é preciso “espremer a esponja” para obter uma saída com o número de bits desejado.

Observando a figura 7 e analisando o algoritmo 8 de [FIPS202], pode-se descrever esta fase da seguinte forma:

- Primeiramente, os primeiros  $r$  bits de  $S_k$  são colocados num bloco  $Z_0$ , o primeiro bloco de  $Z$ .
- Então o bit string  $S_k$  é aplicado à função  $f$  para se obter novo bit string  $S_{k+1}$ .
- Os primeiros  $r$  bits do novo valor de  $S_{k+1}$  são colocados num bloco  $Z_1$ .
- Este processo se repete até que se tenha  $j$  blocos ( $Z_0, Z_1, \dots, Z_{j-1}$ ) tal que  $(j-1) \times r < l \leq j \times r$ .

Ao final deste processo, a saída da estrutura esponja serão os primeiros  $l$  bits dos blocos concatenados  $Z_0 \parallel Z_1 \parallel \dots \parallel Z_{j-1}$ .

## 3.7 Funções Esponja Keccak

---

As funções esponja Keccak são um grupo de funções definidas para serem usadas na estrutura esponja:

- $pad10^*1$  é a função de padding aplicação à mensagem que servirá de entrada para a estrutura esponja.
- $Keccak[c]$  é a aplicação de  $Keccak-p[b, n_r]$  como a função  $f$  sobre a estrutura esponja com parâmetros  $b$ ,  $n_r$  e  $r$  pré-definidos, sendo  $r$  baseado em  $c$ .

As funções listadas acima são definidas na próximas seções.

### 3.7.1 $pad10^*1$

De acordo com o algoritmo 9 de [FIPS202],  $pad10^*1$  retorna uma bit string  $PAD$  de tamanho:

$$b - (m \bmod b)$$

Onde:

- $b$  é o tamanho do bloco em bits da estrutura esponja.
- $m$  é o tamanho da mensagem de entrada em bits.
- $PAD$  tem o seguinte formato binário:  $1 \parallel 0^{m-2} \parallel 1$

### 3.7.2 $Keccak[c]$

$Keccak[c]$  é definida da seguinte forma:

$$Keccak[c] = Sponge[Keccak-p[1600, 24], pad10 * 1, 1600 - c]$$

Ou seja, é a aplicação da estrutura esponja, tendo:

- como função  $f$ , a função  $Keccak-p$  com  $b = 1600$  e  $n_r = 24$ .
- $pad10^*1$  como o algoritmo de padding.
- como bloco da mensagem de entrada, uma bit string de tamanho  $r = b - c$ .

Portanto,  $Keccak[c]$  vai aceitar uma mensagem de tamanho variável, que será *padded* com  $pad10^*1$ . Cada rodada irá processar um bloco da mensagem de entrada de tamanho  $r = b - c$ , com uma capacidade (ou segurança) de tamanho  $c = b - r$ .

### 3.8 Especificação das Funções SHA-3

---

[FIPS202] especifica quatro versões da função de *hash* SHA-3 (SHA3-224, SHA3-256, SHA3-384, SHA3-512) e duas versões da função de saída extensível (XOF SHAKE128 e SHAKE256). Estas funções são descritas nas próximas seções.

#### 3.8.1 Funções de Hash SHA-3

De forma genérica, pode-se definir uma única função de *hash* SHA-3 da seguinte forma:

$$SHA3[d](M) = Keccak[2d](M \parallel 01, d)$$

Onde:

- $M$  é a mensagem a ser processada. Observa-se a concatenação dos bits “01” à mensagem  $M$  antes de aplicar a função  $Keccak[c]$ .
- $d$  é o tamanho em *bits* do valor de *hash* a ser gerado pela função. Observa-se aqui que a capacidade se  $Keccak$  é o dobro do tamanho de  $d$ .

De acordo com a forma genérica, podemos definir as quatro versões específicas desta forma:

- $SHA3-224(M) = SHA3[224](M)$
- $SHA3-256(M) = SHA3[256](M)$
- $SHA3-384(M) = SHA3[384](M)$
- $SHA3-512(M) = SHA3[512](M)$

Portanto, SHA-3 possui funções que podem gerar valor de *hash* nos tamanhos de 224, 256, 384 e 512 *bits*, respectivamente.

#### 3.8.2 Funções de Saída Extensível SHA-3 (XOF)

Além de permitir a geração de valores de *hash* de tamanho fixo, o SHA-3 também permite a geração de valores de tamanho arbitrário através da função genérica:

$$SHAKE[c](M, d) = Keccak[c](M \parallel 1111, d)$$

Onde:

- $M$  é a mensagem a ser processada. Observa-se a concatenação dos bits “1111” à mensagem  $M$  antes de aplicar a função  $Keccak[c]$ .
- $d$  é o tamanho em *bits* do valor de *hash* a ser gerado pela função. Se  $d > 1600$ , será preciso “espremer a esponja”, como foi descrito nas seções anteriores.
- $c$  é o tamanho da capacidade (ou segurança) da função  $Keccak[c]$ , que pode ser diferente de  $d$ .

Dado a forma genérica acima, podemos definir as duas funções XOF específicas do SHA-3:

- $SHAKE128(M, d) = SHAKE[128](M, d)$
- $SHAKE256(M, d) = SHAKE[256](M, d)$

Portanto, o SHA-3 define apenas duas funções XOF com capacidades de 128 e 256 *bits*, respectivamente.

### 3.8.3 Separação de Domínios

Terminando as mensagens das funções de *hash* com “01” e das funções XOF com “1111” garante que os domínios destas funções não tenham interseção.

Os últimos *bits* “11” das funções XOF também garantem compatibilidade com o esquema de codificação Sakura, que permite processamento paralelo na geração de valores de *hash* para mensagens longas.

## 3.9 Análise de Segurança do SHA-3

De acordo com o tipo de ataque, a tabela abaixo mostra a “força” de segurança em *bits* das diferentes versões das funções SHA-3:

Função	Tamanho Saída	Colisão	Pré-Imagem	Segunda Pré-Imagem
SHA-1	160	< 80	160	160–L(M)
SHA-224	224	112	224	min(224,256–L(M))
SHA-512/224	224	112	224	224
SHA-256	256	128	256	256–L(M)
SHA-512/256	256	128	256	256
SHA-384	384	192	384	384
SHA-512	512	256	512	512–L(M)
SHA3-224	224	112	224	224
SHA3-256	256	128	256	256
SHA3-384	384	192	384	384
SHA3-512	512	256	512	512
SHAKE128	d	min(d/2,128)	$\geq \min(d,128)$	min(d,128)
SHAKE256	d	min(d/2,256)	$\geq \min(d,256)$	min(d,256)

Onde:

$$L(M) = \lceil \log_2(\text{len}(M)/B) \rceil$$

É interessante observar que, quanto maior a capacidade (*c*), maior a segurança do SHA-3. Isto é evidente nos valores de resistência a colisão e à segunda pré-imagem mostrados na tabela acima.

## 3.10 Exemplo

Aqui temos um exemplo de uma mensagem de 5 *bits* para a qual gerou-se um *hash* code SHA-3 de 256 *bits*:

### 3.10.1 Mensagem (Entrada)

11001

### 3.10.2 Valor de *Hash* (Saída)

7B 00 47 CF 5A 45 68 82 36 3C BF 0F B0 53 22 CF  
65 F4 B7 05 9A 46 36 5E 83 01 32 E3 B5 D9 57 AF

## 4 Implementação

---

### 4.1 Funções SHA-3

---

Na código abaixo, estão implementadas todas as funções do SHA3, utilizando-se da função keccak:

```
// Copyright (c) 2016 Quenio Cesar Machado dos Santos. All rights reserved.

#pragma once

#include "keccak.h"

// Nota: A classe cstream foi copiada do Stack Overflow.
// cstream concatena duas input streams,
// fazendo o padding do delimitador da mensagem.
// Observe que na especificação o padding está em bits,
// enquanto na implementação de referência está em bytes.

template< size_t D >
std::string sha3(std::istream & message)
{
    return keccak< D*2 >(cstream(message, "0x06"), D);
}

std::string sha3_224(std::istream & message)
{
    return sha3<224>(message);
}

std::string sha3_256(std::istream & message)
{
    return sha3<256>(message);
}

std::string sha3_384(std::istream & message)
{
    return sha3<384>(message);
}

std::string sha3_512(std::istream & message)
{
    return sha3<512>(message);
}
```



```

template< size_t N >
std::string shake(std::istream & message, size_t digest_bit_size)
{
    return keccak< N*2 >(cstream(message, "0x1F"), digest_bit_size);
}

std::string shake_128(std::istream & message, size_t digest_bit_size)
{
    return shake<128>(message, digest_bit_size);
}

std::string shake_256(std::istream & message, size_t digest_bit_size)
{
    return shake<256>(message, digest_bit_size);
}

```

---

## 4.2 Funções Keccak

---

Na código abaixo, estão implementadas todas as funções rnd, keccak\_f e keccak:

---

```

// Copyright (c) 2016 Quenio Cesar Machado dos Santos. All rights reserved.

#pragma once

#include "theta.h"
#include "rho.h"
#include "pi.h"
#include "chi.h"
#include "iota.h"
#include "sponge.h"

template< size_t W >
StateArray< W > rnd(StateArray< W > & a, int i)
{
    return iota(chi(pi(rho(theta(a)))), i);
}

template< size_t B >
BitString< B > keccak_f(BitString< B > bs)
{
    StateArray< B/25 > a { bs };

    for (int i = 0; i < 24; i++)
    {
        a = rnd(a, i);
    }

    return a.bs();
}

template< size_t C >
std::string keccak(std::istream & message, size_t digest_bit_size)
{

```

```
    return sponge< 1600, 1600-C, keccak_f >(message, digest_bit_size);  
}
```

---

### 4.3 Função Esponja

---

Na código abaixo, está implementada a função esponja:

```
// Copyright (c) 2016 Quenio Cesar Machado dos Santos. All rights reserved.  
  
#pragma once  
  
#include "bit_string.h"  
#include "padding.h"  
  
template< size_t B >  
using SpongeF = BitString< B >(*)(BitString< B >);  
  
template< size_t B, size_t R, SpongeF< B > F>  
std::string sponge(std::istream & message, size_t digest_bit_size)  
{  
    static_assert(R >= 8, "Rate must have at least one byte.");  
    static_assert(B > R, "State size must be greater than rate.");  
  
    BitString< B > state;  
    BitString< R > block;  
    BitString< B-R > capacity;  
  
    while (!message.eof())  
    {  
        message >> block;  
        if (message.eof()) {  
            pad101(block, block.bits_read());  
        }  
        state = F(state ^ (block + capacity));  
    }  
  
    constexpr size_t hex_bit_size = 4;  
  
    std::string digest = truncate< R >(state).to_hex();  
    while (digest_bit_size > (digest.size() * hex_bit_size))  
    {  
        state = F(state);  
        digest += truncate< R >(state).to_hex();  
    }  
  
    return digest.substr(0, digest_bit_size / hex_bit_size);  
}
```

---

### 4.4 Padding

---

Na código abaixo, está implementada a função pad101:

---

```
// Copyright (c) 2016 Quenio Cesar Machado dos Santos. All rights reserved.

#pragma once

#include "bit_string.h"

template< size_t R >
void pad101(BitString< R > & block, size_t actual_size)
{
    if (block.size() > actual_size)
    {
        block.set(actual_size, 1);
        block.set(R - 1, 1);
    }
}
```

---

## 4.5 Theta

---

Na código abaixo, está implementada a função Theta:

---

```
// Copyright (c) 2016 Quenio Cesar Machado dos Santos. All rights reserved.

#pragma once

#include "state_array.h"
#include <algorithm>
#include <bitset>
#include <iostream>

using namespace std;

template< size_t W >
StateArray< W > theta(const StateArray< W > & a)
{
    using SA = StateArray< W >;
    using Coord2D = typename SA::Coord2D;

    SA b;

    for (Coord2D coord = SA::begin2D(); coord != SA::end2D(); coord.next())
    {
        Coord2D previous_column = coord;
        previous_column.p_cycle_x();

        Coord2D next_column = coord;
        next_column.cycle_x();

        b[coord] = a.column_xor(previous_column.x)
            ^ a[coord]
            ^ (rotate(a.column_xor(next_column.x), 1));
    }

    return b;
}
```

```
}
```

---

## 4.6 Rho

---

Na código abaixo, está implementada a função Rho:

```
// Copyright (c) 2016 Quenio Cesar Machado dos Santos. All rights reserved.

#pragma once

#include "state_array.h"

template< size_t W >
StateArray< W > rho(const StateArray< W > & a)
{
    using SA = StateArray< W >;
    using Coord2D = typename SA::Coord2D;

    SA b;

    Coord2D coord { 0, 0 };
    b[coord] = a[coord];

    coord = Coord2D { 1, 0 };
    for (int t = 0; t < 24; t++)
    {
        const int offset = (t+1)*(t+2)/2;

        b[coord] = rotate(a[coord], offset);

        coord = Coord2D { coord.y, (2 * coord.x + 3 * coord.y) % 5 };
    }

    return b;
}
```

---

## 4.7 Pi

---

Na código abaixo, está implementada a função Pi:

```
// Copyright (c) 2016 Quenio Cesar Machado dos Santos. All rights reserved.

#pragma once

#include "state_array.h"

template< size_t W >
StateArray< W > pi(const StateArray< W > & a)
{
    using SA = StateArray< W >;
    using Coord2D = typename SA::Coord2D;
```

```

SA b;

for (Coord2D target { 0, 0 }; target != SA::end2D(); target.next())
{
    const Coord2D source { (target.x + 3 * target.y) % 5, target.x };
    b[target] = a[source];
}

return b;
}

```

---

## 4.8 Chi

---

Na código abaixo, está implementada a função Chi:

```

// Copyright (c) 2016 Quenio Cesar Machado dos Santos. All rights reserved.

#pragma once

#include "state_array.h"

template< size_t W >
StateArray< W > chi(const StateArray< W > & a)
{
    using SA = StateArray< W >;
    using Coord2D = typename SA::Coord2D;

    SA b;

    for (Coord2D target { 0, 0 }; target != SA::end2D(); target.next())
    {
        Coord2D plus_one = target;
        plus_one.cycle_x();

        Coord2D plus_two = plus_one;
        plus_two.cycle_x();

        b[target] = a[target] ^ (~a[plus_one] & a[plus_two]);
    }

    return b;
}

```

---

## 4.9 Iota

---

Na código abaixo, está implementada a função Iota:

```

// Copyright (c) 2016 Quenio Cesar Machado dos Santos. All rights reserved.

#pragma once

#include <cassert>

```

```

#include "state_array.h"

bool rc_bit(int t)
{
    int n = t % 255;
    if (n == 0) return 1;

    BitString<9> r { "100000000" };
    for (int i = 0; i < n; i++)
    {
        r >>= 1;
        r.set(0, r[0] ^ r[8]);
        r.set(4, r[4] ^ r[8]);
        r.set(5, r[5] ^ r[8]);
        r.set(6, r[6] ^ r[8]);
    }

    return r[0];
}

template< size_t W >
BitString< W > rc(int round_index)
{
    BitString< W > word;

    const int offset = 7 * round_index;
    size_t i = 1;
    for(int j = 0; i <= W; j++)
    {
        word.set(i - 1, rc_bit(j + offset));
        i *= 2;
    }

    // Observe que na especificação não se fala desta reversão,
    // porém é necessária de acordo com a implementação de referência,
    // que utiliza left-shift para construir a round constant.
    return word.reversed();
};

template< size_t W >
StateArray< W > iota(const StateArray< W > & a, int round_index)
{
    assert(round_index >= 0 && round_index < 24);

    using SA = StateArray< W >;
    using Coord2D = typename SA::Coord2D;

    const Coord2D target = { 0, 0 };

    SA b = a;
    b[target] = a[target] ^ rc< W >(round_index);

    return b;
}

```

---

## 4.10 State Array

---

Na código abaixo, está implementado o state array:

```
// Copyright (c) 2016 Quenio Cesar Machado dos Santos. All rights reserved.

#pragma once

#include "bit_string.h"

using namespace std;

#include <climits>

template< size_t W >
struct StateArray
{
    static constexpr size_t row_count = 5;
    static constexpr size_t column_count = row_count;
    static constexpr size_t lane_count = row_count * column_count;
    static constexpr size_t lane_size = W;
    static constexpr size_t string_size = lane_count * lane_size;

    using Lane = BitString< lane_size >;

    // A abstração das coordenadas do state array implementadas abaixo,
    // facilitam a iteração sobre este e simplificam o código
    // das funções de permutação.

    struct Coord2D
    {
        int x, y;

        Coord2D(int x, int y): x(x), y(y) {}

        bool operator !=(const Coord2D & other) const
        {
            return x != other.x || y != other.y;
        }

        void p_cycle_x() { x = (x == 0 ? column_count : x) - 1; }
        void p_cycle_y() { y = (y == 0 ? row_count : y) - 1; }

        void previous()
        {
            p_cycle_x();
            if (x == (column_count - 1)) y--;
        }

        void p_cycle()
        {
            p_cycle_x();
            if (x == (column_count - 1)) p_cycle_y();
        }
    }
};
```

```

void cycle_x() { x = (x + 1) % column_count; }
void cycle_y() { y = (y + 1) % row_count; }

void next()
{
    cycle_x();
    if (x == 0) y++;
}

void cycle()
{
    cycle_x();
    if (x == 0) cycle_y();
}

int linear_index() const
{
    return (y * column_count) + x;
}

friend inline ostream & operator << (ostream & os, const Coord2D & coord)
{
    return os << "(" << coord.x << "," << coord.y << ")";
}

};

struct Coord3D
{
    int x, y, z;

    Coord3D(int x, int y, int z): x(x), y(y), z(z) {}

    void p_cycle_x() { x = (x == 0 ? column_count : x) - 1; }
    void p_cycle_y() { y = (y == 0 ? row_count : y) - 1; }
    void p_cycle_z() { z = (z == 0 ? lane_size : z) - 1; }

    void previous()
    {
        p_cycle_z();
        if (z == (lane_size - 1)) p_cycle_x();
        if (x == (column_count - 1) && z == (lane_size - 1)) y--;
    }

    void p_cycle()
    {
        p_cycle_z();
        if (z == (lane_size - 1)) p_cycle_x();
        if (x == (column_count - 1) && z == (lane_size - 1)) p_cycle_y();
    }

    void cycle_x() { x = (x + 1) % column_count; }
    void cycle_y() { y = (y + 1) % row_count; }
    void cycle_z() { z = (z + 1) % lane_size; }

```



```

void next()
{
    cycle_z();
    if (z == 0) cycle_x();
    if (x == 0 && z == 0) y++;
}

void cycle()
{
    cycle_z();
    if (z == 0) cycle_x();
    if (x == 0 && z == 0) cycle_y();
}

bool operator !=(const Coord3D & other) const
{
    return x != other.x || y != other.y || z != other.z;
}

int linear_index() const
{
    return lane_size * ((y * column_count) + x) + z;
}

friend inline ostream & operator << (ostream & os, const Coord3D & coord)
{
    return os << "(" << coord.x << "," << coord.y << "," << coord.z << ")";
}

};

static Coord3D begin()
{
    return { 0, 0, 0 };
}

static Coord3D end()
{
    return { 0, row_count, 0 };
}

static Coord2D begin2D()
{
    return { 0, 0 };
}

static Coord2D end2D()
{
    return { 0, row_count };
}

StateArray() {}

StateArray(BitString< string_size > s)

```

```

{
    for (Coord3D coord = begin(); coord != end(); coord.next())
    {
        this->set(coord, s[coord.linear_index()]);
    }

    swap_endian();
}

BitString< string_size > bs() const
{
    StateArray st = *this;
    st.swap_endian();

    BitString< string_size > s;
    for (Coord3D coord = begin(); coord != end(); coord.next())
    {
        s.set(coord.linear_index(), st[coord]);
    }

    return s;
}

bool operator [] (const Coord3D & coord)
{
    return matrix[coord.x][coord.y][coord.z];
}

const bool operator [] (const Coord3D & coord) const
{
    return matrix[coord.x][coord.y][coord.z];
}

Lane & operator [] (const Coord2D & coord)
{
    return matrix[coord.x][coord.y];
}

const Lane & operator [] (const Coord2D & coord) const
{
    return matrix[coord.x][coord.y];
}

void set(const Coord3D & coord, const bool & bit)
{
    matrix[coord.x][coord.y].set(coord.z, bit);
}

void xor(const Coord3D & left_coord, const Coord3D & right_coord)
{
    set(left_coord, (*this)[left_coord] xor (*this)[right_coord]);
}

Lane column_xor(int column_index) const
{

```

```

    Coord2D coord = { column_index, 0 };
    Lane result = (*this)[coord];

    while (++coord.y < row_count)
    {
        result ^= (*this)[coord];
    }

    return result;
}

std::string to_string() const
{
    return bs().to_string();
}

std::string to_hex() const
{
    StateArray st = *this;
    st.swap_endian();

    std::string str;
    for (Coord2D coord = begin2D(); coord != end2D(); coord.next())
    {
        str += st[coord].to_hex();
    }

    return str;
}

private:

    // Na implementação de referência, se faz a troca de bytes mais significativos
    // com os menos significativos.
    // Porém, não há qualquer informação sobre isto na especificação da FIPS.
    void swap_endian()
    {
        if (lane_size % BitString< W >::byte_size == 0)
        {
            for (Coord2D coord = begin2D(); coord != end2D(); coord.next())
            {
                (*this)[coord].swap_endian();
            }
        }
    }

    Lane matrix[column_count][row_count];
};

```

---

## 4.11 Bit String

---

Na código abaixo, está implementado a bit string:

---

```

// Copyright (c) 2016 Quenio Cesar Machado dos Santos. All rights reserved.

```

```

#pragma once

#include <bitset>
#include <string>
#include <istream>
#include <sstream>
#include <iomanip>
#include <cassert>

// Neste arquivo, somente a implementação de swap_endian foi copiada do Stack Overflow:
template < typename T >
T swap_endian(T u)
{
    static_assert (CHAR_BIT == 8, "CHAR_BIT != 8");

    union
    {
        T u;
        unsigned char u8[sizeof(T)];
    } source, dest;

    source.u = u;

    for (size_t k = 0; k < sizeof(T); k++)
        dest.u8[k] = source.u8[sizeof(T) - k - 1];

    return dest.u;
}

// Nota: classe BitString abstrai as operações
// sobre sequencias de bits,
// assim permitindo uma implementação de Keccak
// para tamanhos arbitrários
// de state array e capacidade.
// Apesar disto, a performance é adequada,
// pois utiliza a classe bitset da standard library,
// que é implementada em memória e registradores
// para state array de até 64 bits.

template< size_t N >
struct BitString
{
    static constexpr size_t byte_size = 8;

    BitString() {}
    BitString(uint64_t val): _bs(val) {}
    BitString(const std::string & s): _bs(s.c_str()) {}
    BitString(const char * s): _bs(s) {}
    BitString(std::bitset< N > bs): _bs(bs) {}

    std::string to_string() const { return _bs.to_string(); }

    std::string to_hex() const
    {

```

```

constexpr size_t block_size = 64;
const std::string bin_str = to_string();

std::stringstream ss;
for (int i = 0; i < size(); i += block_size)
{
    std::bitset< block_size > bs64
    {
        bin_str.substr(i, block_size).c_str()
    };
    const size_t bit_width = (i + block_size) > size() ? size() - i : block_size;
    ss << std::setfill('0')
        << std::setw(bit_width/4)
        << std::uppercase
        << std::hex << bs64.to_ulong();
}

return ss.str();
}

size_t count() const { return _bs.count(); }
size_t size() const { return _bs.size(); }

BitString& operator &= (const BitString& rhs)
{
    _bs &= rhs._bs; return *this;
}

BitString& operator |= (const BitString& rhs)
{
    _bs |= rhs._bs; return *this;
}

BitString& operator ^= (const BitString& rhs)
{
    _bs ^= rhs._bs; return *this;
}

BitString& operator <=<= (size_t pos)
{
    _bs <=<= pos; return *this;
}

BitString& operator >=>= (size_t pos)
{
    _bs >=>= pos; return *this;
}

BitString& set() { _bs.set(); return *this; }

BitString& set(size_t pos, bool val = true)
{
    _bs.set(reversed(pos), val); return *this;
}

```

```

BitString& reset() { _bs.reset(); return *this; }
BitString& reset(size_t pos) { _bs.reset(reversed(pos)); return *this; }

BitString operator~() const { return BitString(~_bs); }

BitString& flip() { _bs.flip(); return *this; }
BitString& flip(size_t pos){ _bs.flip(reversed(pos)); return *this; }

bool operator [] (size_t pos) { return _bs[reversed(pos)]; }
const bool operator [] (size_t pos) const { return _bs[reversed(pos)]; }

bool operator == (const BitString& rhs) const { return _bs == rhs._bs; }
bool operator != (const BitString& rhs) const { return _bs != rhs._bs; }

bool test(size_t pos) const { return _bs.test(reversed(pos)); }
bool all() const { return _bs.all(); }
bool any() const { return _bs.any(); }
bool none() const { return _bs.none(); }

BitString operator << (size_t pos) const { return BitString(_bs << pos); }
BitString operator >> (size_t pos) const { return BitString(_bs >> pos); }

BitString reversed() const
{
    std::string str = to_string();
    std::reverse(str.begin(), str.end());
    return BitString(str.c_str());
}

void swap_endian()
{
    if (_bs.size() % byte_size == 0)
    {
        _bs = ::swap_endian(_bs.to_ullong());
    }
}

friend inline BitString operator & (const BitString & lhs, const BitString & rhs)
{
    return BitString(lhs._bs & rhs._bs);
}

friend inline BitString operator | (const BitString & lhs, const BitString & rhs)
{
    return BitString(lhs._bs | rhs._bs);
}

friend inline BitString operator ^ (const BitString & lhs, const BitString & rhs)
{
    return BitString(lhs._bs ^ rhs._bs);
}

template < size_t L, size_t R >
friend inline BitString< L+R > operator + (const BitString< L > & lhs, const BitString< R >
{

```

```

        return BitString< L+R >(lhs._bs.to_string() + rhs._bs.to_string());
    }

template< size_t O, size_t I >
friend BitString< O > truncate(const BitString< I > & input);

friend inline std::istream & operator >> (std::istream & is, BitString & bstr)
{
    constexpr size_t byte_size = 8;
    constexpr size_t block_size = N / byte_size;

    std::stringstream ss;

    bstr._bits_read = 0;
    for (size_t i = 0; i < block_size; i++)
    {
        unsigned char value;
        is >> value;
        if (is.eof())
        {
            ss << "00000000"; // one byte
        }
        else
        {
            std::bitset< byte_size > bs = value;
            ss << bs.to_string();
            bstr._bits_read += byte_size;
        }
    }

    bstr._bs = std::bitset< N > { ss.str() };

    return is;
}

size_t bits_read() { return _bits_read; }

private:
    // bitset tem indice zero no digit mais a direita,
    // enquanto BitString precisa que este encontre-se na esquerda.
    size_t reversed(size_t pos) const { return N - pos - 1; }

    std::bitset< N > _bs;
    size_t _bits_read;
};

template< size_t O, size_t I >
inline BitString< O > truncate(const BitString< I > & input)
{
    return BitString< O >(input.to_string());
}

inline std::string hex_to_bin(std::string hex_str)
{
    constexpr int byte_size = 2;

```

```

assert(hex_str.size() % byte_size == 0);

std::string bin_str;
for (int i = 0; i < hex_str.size(); i += byte_size)
{
    std::stringstream ss(hex_str.substr(i, byte_size));

    unsigned int value;
    ss >> std::hex >> value;
    std::bitset<8> bs = value;

    bin_str += bs.to_string();
}

return bin_str;
}

template< size_t N >
inline BitString< N > hex_to_bs(std::string hex_str)
{
    return BitString< N >(hex_to_bin(hex_str).c_str());
}

template < size_t N >
inline BitString< N > rotate(BitString< N > b, int n)
{
    return b << (n % N) | b >> ((N-n) % N);
}

```

---

## 5 Crítica ao SHA-3

Keccak, o design do SHA-3, é simples e elegante comparado a outros algoritmos de hash. Também é muito flexível nas opções de seus parâmetros e nas aplicações possíveis.

Aqui vão algumas de suas vantagens:

- *Aplicações:* o Keccak permite a configuração da taxa de vazão (throughput) para melhorar performance em detrimento da segurança, ou vice-versa. Ele também permite um tamanho variável do hash gerado, o que abre bastante o leque de aplicações, além das aplicações usuais de algoritmos de hash.
- *Margem de Segurança:* comparado ao SHA-2, e a outros algoritmos, o Keccak tem uma margem de segurança bem alta, com menos vulnerabilidade em cripto-análise, porque:
  - suas funções de permutação, inerentemente mais seguras, o tornam menos vulnerável a ataques do que algoritmos tradicionais de hash, como o SHA-2.
  - quase 80 por cento das funções que fazem parte do Keccak ainda não foram quebradas, enquanto 40 por cento das funções do SHA-2 já foram.
  - os autores provaram matematicamente que o Keccak é seguro contra pré-imagem, segunda pré-imagem e colisões até  $2^n$ ,  $2^n$ ,  $2^{n/2}$  consultas, respectivamente.
- *Performance:* implementado em software, a performance do SHA-3 é comparável ao SHA-2, mas sua performance em hardware, em termos de throughput, é muito superior ao SHA-2.
- *Design:* seu design simples, orientado a bits, torna sua especificação bem clara e, por consequência, facilita seu entendimento e implementação. Seu design baseado em



permutações, e na função de esponja, também permitirá o surgimento de algoritmos alternativos, ou algoritmos para outras aplicações.

Apesar de suas vantagens consideráveis, aqui estão algumas deficiências:

- *Inversível*: como todos os passos do SHA-3 são inversíveis, sabendo-se os estados intermediários, é possível se chegar na mensagem original.
- *Software Performance*: sua performance é razoável em software, mas existem outros algoritmos, como o BLAKE, quem tem performance muito melhor.

Considerando que o SHA-2 já é utilizado por pelo menos uma década e ainda não foi quebrado, e também considerando a margem de segurança do SHA-3, quando comparado ao SHA-2, mesmo com os avanços de hardware da próxima década, espera-se que o SHA-3 seja seguro nos próximos 10 anos, ou mais. Porém, como ainda é um algoritmo novo, será interessante ver o que os trabalhos de pesquisa e cripto-análise irão dizer nos próximos anos.

## 6 Referências

---

[Stalling2014] Cryptography and Network Security, Sixth International Edition, 2014.

[FIPS202] FIPS PUB 202, 2015.

[Wikipedia2016] Wikipedia, 2016.

[NISTIR7896] Third-Round Report of the SHA-3, Cryptographic Hash Algorithm Competition, 2012.